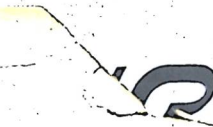


M<sub>o</sub>Gr



VII 3934

1952

Mo<sub>10</sub>Cr<sub>12</sub>Fe<sub>36</sub>, FeCr, FeMo, Fe<sub>3</sub>Mo<sub>2</sub>

(Tin, крист. струк.)

Takeda S., Yukawa N.

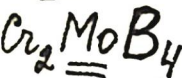
J. Japan. Inst. Metals,

1957, 21, № 4, 275-279

Б, Аи, Му

ЕСТЬ Ф. Р.

~~CrB<sub>2</sub>~~



Tm

VII - 1947

1960

Reaction of chromium boride with molybdenum. Shou-Wei, Tai, G. A. Yasinskaya and G. V. Samsonov. *Dopovidi Akad. Nauk Ukr. RSR* 1960, 48-50. From metallographic thermal, and dilatometric analyses, as well as through measurement of shrinkage on sintering, the elec. cond., and thermal e.m.f., a phase diagram of the pseudobinary system CrB<sub>2</sub>-Mo was drawn. The diagram shows a eutectic character with the eutectic point at 17 mole % CrB<sub>2</sub> (1960°) and 94 mole % CrB<sub>2</sub> (2120°), and a trivial mutual solv. of the components in the solid state. A chem. compd. of the compn. Cr<sub>2</sub>MoB<sub>4</sub> with congruent melting at 2270° was demonstrated in the system. From CZ 1962(43), 15525.

Felix Saunders

B9 - 1933 - VII

C. I. 1964 C 1 NY 79272

<sup>3+</sup>Cr<sub>2</sub>Co(CN)<sub>8</sub><sup>4-</sup> (P-P, H<sub>2</sub>O) 1Kg<sup>1961</sup>)  
VII - 5565

Malik W.U., Ali S.I.,

J. Inorg. and Nucl. Chem.,

1961, 20, 155



B.

VII 4384

1963

MoCr (α, δ, γ)

Троицкин Д.А., Сидурова О.И.,

Изучение и экспериментальное  
состава, М., Изд-во АН СССР,

1963, 229-232

Мет

ЛСГ 9.к.

$\text{Cr}_2\text{O}_3 \cdot 3\text{MoO}_3$

Третьяков В.К.,  
ковбас И.И.

1966

Изв. АН СССР Металлургия  
2, № 1, 151

Взаимодействие трехокиси  
мolibдена и ванадия с окисла-  
ми  $\text{Fe}(\text{III})$  и  $\text{Cr}(\text{III})$ .



(См.  $\text{Cr}_2\text{WO}_6$ ) I

Cu-Mo

B95-6945-VI

1967

Allen B.C.

(paerborowet  
Cu & Mo (rc)

Trans. Metallurg.  
Soc. AIME, 1967  
239, NY, 1026-29



Тихонова А. М.,  
Козгалиев А. М.

1967

Изд. РАН СССР, Изд-во мат-лов,  
3, N5, 906.

перевод

Переводно-издательское ассоци-  
рованное издательство хране-  
ния и воспроизведения.

I  $[\text{Ce}_2\text{Al}_2(\text{MoO}_4)_3]$

Mo Cr<sub>x</sub>)

1967

Сплавы

1

(Cr)

18 Б719. Измерения удельной теплоемкости и эффекта Холла на Cr—Mo-сплавах. Shabel, Barric S., Schröder Klaus. Specific heat and hall effect measurements on Cr—Mo alloys. «J. Phys. and chem. Solids», 1967, 28, № 11, 2169—2173 (англ.)

Для пяти сплавов Cr—Mo, содержащих от 25 до 50 ат. % Mo в интервале т-р 125—625° К проведены измерения удельной теплоемкости  $C_p$  и коэф. Холла  $R_H$  при коми. т-ре и 77° К в полях до 7 кэ. Удельная электронная теплоемкость определялась из выражения  $C_E(T) = \gamma^* T = C_p(T) - C_n(T/0) - A[C_p(T)]^2 T$ , где  $A C_p^2 T$  — теплоемкость за счет расширения,  $C_p(T/0)$  — теплоемкость решетки, рассчитываемая по теории Дебая. Сплавы с 25—

X·1968·18

50 ат. % Mo имеют  $C_E(T)$ , в пределах эксперим. ошибок такую же как для чистого Сг.  $C_E(T)$  сплавов с 75—80 ат. % Mo соответствует  $C_E(T)$  чистого Mo.  $R_H$  сплавов почти не зависит от их состава и изменяется при коми. т-ре между  $+11,5$  и  $+12,7 \cdot 10^{-13} \text{ в} \cdot \text{см}/\text{а} \cdot \text{э}$ . При  $77^\circ \text{К}$   $R_H$  несколько меньше и так же мало изменяется с составом сплавов. Данные обсуждаются с точки зрения влияния кривой плотности состояний на  $C_E$  и зонной структуры сплавов.

Г. В. Федоров

Pteromoss (Kriegs.) ♀ 1967  
n = 1-6.  
n = 8-9.

Кан К., Абдесеке А.И.,  
Берг. 129, 1967, 22 (16), схема 3, № 3,  
156-64.

Синтезировано сине  
Редуктора титано(IV)  
груп; B

Абдесеке и Гар  
Калининск. Химия  
РА, 1968, 69, № 14, 545-552

Mo - Cr

1969

Система

Cr - Mo

4 Б1104. Химические активности хрома и молибдена в сплавах хром—молибден в твердом состоянии. Dickson D. S., Myers J. R., Pool M. J., Sather R. K. The chemical activities of chromium and molybdenum in solid chromium-molybdenum alloys. «Trans. Metallurg. Soc. AIME», 1969, 245, Jan., 175—177 (англ.)

В интервале 1300—1550° методом Кнудсена измерено давл. пара Сг над сплавами системы Сг—Мо. Для т-р 1350 и 1500° вычислены активности компонентов, а для 1400° — интегральная свободная энергия, энтропия и теплота смешения в сплавах Сг—Мо. Полученные результаты указывают на возможность распада тв. р-ров при понижении т-ры в интервале составов 50—60 ат. % Сг.

Л. Гузей

P

Х. 1970. 4

VII 5979

1969

Ср. М. В.

7

Крас. сг-фа

Каюковцев Н.М., Постникова Н.В., Спешкова  
"Геофиз. металургия", 1969, № 10, 76-81  
(пер. англ.)

Фрагмент сезав и некоторые частицы  
сезав избирательно-заряж. бар.

○ Ат. № 1

PM, 1970, 2418

Cr-Fe-Mo  
cubic

1841

11195s Specific heat of chromium-rich chromium-nickel and chromium-iron-molybdenum alloys between 1.3 and 4.2°K. Baum, Neal P.; Schroeder, K. (Dep. Chem. Eng. Metall., Syracuse Univ., Syracuse, N.Y.). *Phys. Rev. B* 1971, [3] 3(11), 3847-51 (Eng). The sp. heats of some Cr-based alloy systems were measured at 1.3-4.2°K. The alloy systems were the binary Cr-Ni with up to 4-at. % Ni and the ternary  $\text{Cr}_{(0.75-x)}\text{Fe}_x\text{Mo}_{0.25}$  with  $0 \leq x < 0.20$ . The electronic-sp.-heat coeff. of the Cr-Ni system increases slowly with increasing Ni concn. and shows a max. near 2-at. % Ni. The coeffs. of the cubic temp. term in the sp. heat of some of the binary alloys are relatively high. This observation was attributed to the effect of antiferromagnetic spin waves.

(3) *Unit C*

C.A. 1941. 45.2

X

Se Ba, Mi B, V. Cx B, 8 7 1971

M. Cx Ba (Cp) 736373

Cascading f.

Pitt. ONERA, 1971, N.W., Cp (♀♀♂♂)

Thaumatochares coryphaeus & Thaumatochares  
clavigerus gabonensis nebulosus  
specimens?

Pitt. 1972

125615

105



Cr-Ni  
Cr<sub>0,75</sub>-Fe<sub>x</sub>Mo<sub>0,25</sub>(Cp) F VII 5786 1921  
Baum N.P., Schroeder K.,

Phys. Rev. B. 1924, [3] 3 (II), 3847-51 (with)

Specific heat of chromium-rich  
chromium-nickel and chromium-  
-iron-molibdenum alloys between  
1.3 and 4.2°K.

8 Au (cp)

CA, 14 M, 75 (2), 111955

1971

8 E671. Низкотемпературная теплоемкость и магнитная восприимчивость смешанных боридов молибдена и хрома. Castaing J., Captain R., Costa P. Chaleur spécifique à basse température et susceptibilité magnétique des borures mixtes de molybdène et de chrome. «Solid State Commun», 1971, 9, № 4, 297—300 (франц.; рез. англ.)

Исследована температурная зависимость теплоемкости  $C$  и магн. восприимчивости  $\chi$  системы сплавов  $Mo_{1-x}Cr_xB_2$ . Измерения теплоемкости проводились в интервале т-р 4,2—20° К, восприимчивости — в интервале 4,2—300° К. Показано, что коэф.  $\gamma$  в выражении  $C=A(T)+\gamma T+\alpha T^3$  аномально высок, зависимость  $\gamma(x)$  имеет максимум,  $\gamma_{\max} \approx 35$  мдж/° К<sup>2</sup> моль. Зависимость  $\chi(T)$  для образцов с большим содержанием Сг характерна для антиферромагнетиков, точка Нееля понижается с уменьшением  $x$ . При  $x \leq 0,65$  соединения парамагнитны во всем исследованном интервале т-р.

Т. В. Дмитриева

9.1971.86

1972

Cr Mo P  
1-x 1-y

105008f Chromium molybdenum tetraphosphides having isotopic, monoclinic crystal structures. Donohue, Paul C. (du Pont de Nemours, E. I., and Co.) U.S. 3,634,335 (Cl. 252-518; H 01b, C 01b), 11 Jan 1972, Appl. 55,597, 16 Jul 1970; 4 pp. The title compds.,  $\text{Cr}_{1-x}\text{Mo}_x\text{P}_4$ , are produced by reacting the constituent metals or their known phosphides with P at 1000-1200°C and pressures of 15-30 kilobars for 1-2 hr. The monoclinic unit cell (space group  $C2/c$ ) of the compd. has unit-cell dimensions of  $a = 5.1914$  to  $5.3134 \pm 0.005$  Å,  $b = 10.7600$  to  $11.1385 \pm 0.009$  Å,  $c = 5.7712$  to  $5.8204 \pm 0.005$  Å, and  $\beta = 110.64$  to  $110.65 \pm 0.1^\circ$ . Formation of by-products, such as CrP and MoP<sub>2</sub>, was minimized by employing the reactants in a ratio of 1 g atom of the metal to 4 g atoms of P. Crystal growth was promoted by slow cooling to 800-1000°C before quenching to room temp. after reaction or by extending the

T<sub>tr</sub>

C.A. 1972

76-18

length of time at the reaction temp. The elec. resistivity of the CrP<sub>4</sub> produced by this method was  $2.6 \times 10^{-6}$  ohm-cm at 4.2°K and  $2.3 \times 10^{-4}$  ohm-cm at 298°K, and this compd. underwent a reversible phase change at 560°K which was accompanied by a reversible increase in resistivity of  $300 \times 10^{-6}$  ohm-cm. The elec. resistivity of the MoP<sub>4</sub> produced by this method was  $1.2 \times 10^{-3}$  ohm-cm at 4.2°K and  $2.0 \times 10^{-3}$  ohm-cm at 298°K. The compds. may thus be used as elec. conductors.

S. C. Foote

$\text{Cr}_2(\text{MoO}_4)_3$        $T_m = 990^\circ\text{C}$  [1972]

Moxocele M.

УЗб ССР СССР , № 99-1972  
1972, 8, № 10, 1868

1973



Sloight, A.W.S. et al.,

J. Solid State Chem.,

1973, 7(2), 172-4.

( $T_{t^2}$ )

( $\text{Cr}_2\text{Al}_2(\text{MoO}_4)_3$ ; 1)

1974

CrMo<sub>2</sub>S<sub>4</sub>, FeMo<sub>2</sub>S<sub>4</sub>

2 Б590. Магнитные и электрические свойства соединений MMo<sub>2</sub>S<sub>4</sub> (M=V, Cr, Fe, Co) в связи с их структурой. Chevrel R., Sergent M., Meurgu J. L., Quan

Dang Tran, Colin Y. Propriétés magnétiques et électriques en relation avec leur structure, des composés MMo<sub>2</sub>S<sub>4</sub> (M=V, Cr, Fe, Co). «J. Solid State Chem.», 1974, 10, № 3, 260—269 (франц.)

Измерены магнитная проницаемость и электропроводность соединений VMo<sub>2</sub>S<sub>4</sub> (I), CrMo<sub>2</sub>S<sub>4</sub> (II), FeMo<sub>2</sub>S<sub>4</sub> (III) и CoMo<sub>2</sub>S<sub>4</sub> (IV), к-рые получены синтезом из элементов или р-цией молибденита с соотв-щим металлом. Монокристаллы получены в процессе синтеза или транспортом в присутствии хлора, к-рый вводили в систему в виде Mo<sub>2</sub>S<sub>5</sub>Cl<sub>3</sub> или MoCl<sub>2</sub>. Р-ция протекала в течение 3 недель при градиенте 20° (1170—1150°). Состав кристаллов подтвержден рентгографич. методом. Структура соединений слоистая с изогнутыми димерными цепочками Mo—Mo. Магнитная восприимчивость измерена

(T<sub>tr</sub>)

2. 1975

№ 2

+2 -X

методом Фарадея при  $80-300^\circ\text{K}$  в гелиевом криостате. Найдено, что II — парамагнетик ниже  $130^\circ\text{K}$ , с  $\mu_{\text{эф}} = -4,06 \pm 0,1 \text{ мв}$ , атомы Cr находятся в двухвалентном состоянии  $3d^4$ , атомы Mo дают слабый парамагнитный вклад за счет связей Mo—Mo. III является парамагнетиком с  $\mu_{\text{эф}} = 5,50 \pm 0,1 \text{ мв}$ , а в области низких т-р антиферромагнетиком с  $T_N = 130 \pm 20^\circ\text{K}$ . Магнитный момент I показывает, что ион ванадия находится в двухвалентном состоянии. В связи с присутствием ферромагнитной примеси  $\text{MoS}_2$  в IV, это соединение проходило обработку в  $\text{H}_2$  при  $750^\circ$ ; состав II после очистки отвечал ф-ле  $\text{CoMo}_2\text{S}_{3,9}$  с дефицитом по сере. При низкой т-ре IV является антиферромагнетиком с  $T_N = 195^\circ\text{K}$ . Все соединения I—IV являются полупроводниками с дырочной проводимостью в случае III и электронной в остальных случаях.

З. С. Медведева

[ $\text{CrMo}(\text{O}_2\text{CCH}_3)_4$ ] ommued 6840 1976

© Garner David C.  
et al.

авторъ  
хрестом.  
струхи.

J. Amer. Chem. Soc.  
198:12 / June 9, 1976

CrMo

1976

7 E379. Низкотемпературная теплоемкость CrMo.  
Mamiya Takayoshi, Masuda Yoshika. Low  
temperature specific heat of CrMo alloys. «J. Phys. Soc.  
Jap.», 1976, 40, № 2, 390—395 (англ.)

( $C_p$ )

Измерялась теплоемкость в области т-р 1,5—4,2° К и электросопротивление при 4,2—300° К двенадцати сплавов CrMo с концом Mo до 36,6 ат.%. С увеличением концом Mo точки Нееля уменьшаются от 312,9° К для чистого Cr до 20° К для состава Cr—23 ат.% Mo. При больших концом Mo фазового перехода не наблюдалось. Коэффициент при электронной части теплоемкости  $\gamma$  возрастает с увеличением содержания Mo также до состава с 23 ат.% Mo, а далее остается постоянным. Соотношение между  $\gamma$  и величиной т-ры Нееля удовлетворяет следующему выражению

$$\gamma = 2,77 - 0,01881 T_N^{3/4}.$$

А. С. Андреенко

9.1976

N7

Mo-Cr

1979

91: 129671c Solubility diagram of molybdenum-chromium.  
Kocherzhinskii, Yu. A.; Vasil'enko, V. I. (Kiev, USSR). Izv. Akad. Nauk SSSR, Met. 1979, (4), 205-7 (Russ). The Mo-Cr system was studied at 25-100 wt.% Mo by DTA ( $\leq 2700^\circ$ ). A eutectic occurs at  $\sim 1800^\circ$  and  $\sim 10$  at. % Mo.

(grayob.  
grayp.)

CA 1979 9/116

Fe - Ni - Mo

1980

Fe - Co - Mo (unpubl.)

Ni - Co - Mo

gazob.  
guarfi.

✓ 93: 156503x Phase relations in the systems iron-nickel-molybdenum, iron-cobalt-molybdenum and nickel-cobalt-molybdenum at 1100°C. Van Loo, F. J. J.; Bastin, G. F.; Vrolijk, J. W. G. A.; Hendriks, J. J. M. (Tech. Hogesch. Eindhoven, Eindhoven, Neth.). *J. Less-Common Met.* 1980, 72(2), 225-30 (Eng). Isothermal cross sections through the ternary phase diagrams Fe-Ni-Mo, Fe-Co-Mo, and Ni-Co-Mo were detd. at 1100° by the diffusion couple technique. Essential points of the results were corroborated by an investigation of equilibrated alloys. Optical, microprobe and x-ray analyses were used. Characteristics common to the 3 phase diagrams are the large homogeneity range of the  $\mu$  phase and the narrowness of the 3-phase regions.

Mo - gazob

C.A. 1980, 93, N16

*Ni<sub>45</sub>Fe<sub>5</sub>Co<sub>20</sub>Cr<sub>10</sub>Mo<sub>4</sub>B<sub>16</sub>*

1982

10 Б3135. Кристаллизационное поведение металлического стекла  $\text{Ni}_{45}\text{Fe}_5\text{Co}_{20}\text{Cr}_{10}\text{Mo}_4\text{B}_{16}$ . Crystallisation behaviour of a metallic glass  $\text{Ni}_{45}\text{Fe}_5\text{Co}_{20}\text{Cr}_{10}\text{Mo}_4\text{B}_{16}$ . Nandedkar R. V., Tyagi A. K., Varathan K. «Proc. 4 Int. Conf. Rapid. Quench. Metals, Sendai, 24—28 Aug., 1981. Vol. 1». Sendai, 1982, 755—758 (англ.)

Методом резистометрии, высокотройной электронной микроскопии и ДСК исследовано кристаллизаци. поведение металлич. стекла  $\text{Ni}_{45}\text{Fe}_5\text{Co}_{20}\text{Cr}_{10}\text{Mo}_4\text{B}_{16}$  в виде лент толщиной 40 мкм и влияние на этот процесс электронного излучения. Показано, что кристаллизация происходит в 2 стадии. При т-ре  $390 \pm 15^\circ\text{C}$  появляется первая фаза с г. ц. к. структурой и параметром решетки  $4,00 \pm 0,1 \text{ \AA}$ , а при т-ре  $508 \pm 10^\circ$  — вторая фаза с о. ц. к. структурой и параметром решетки  $4,15 \pm 0,1 \text{ \AA}$ . Теплоты кристаллизации на этих 2 стадиях составляют 348 и 405 кал/моль соотв. Низкие и высокие дозы электронного облучения стекла при коми. т-ре не приводили к каким-либо изменениям начала кристаллизации.

А. Е. Вольпян

*AH;*

*X. 1984, 19,  
N 10*

*Си<sub>x</sub>Mo<sub>6</sub>S<sub>8</sub>*

1984

5 E647. Модель структурных фазовых переходов в  $\text{Cu}_x\text{Mo}_6\text{S}_8$ . A model for the structural transitions in  $\text{Cu}_x\text{Mo}_6\text{S}_8$ . Amritkar R. E. «Int. Cent. Theor. Phys. Int. Atom. Energy Agency [Прерг.]», 1984, № 118, 12 pp., ill. (англ.)

Тройные халькогениды молибдена  $M_x\text{Mo}_6X_8$  (где  $M$  — металл,  $X$  — халькоген, а  $x$  может меняться от 0 до 4 в зависимости от  $M$ ,  $X$ ) испытывают структурные фазовые переходы между ромбоэдрической (высокотемпературной) и триклинной фазами. Определяющую роль в этих переходах играет распределение атомов  $M$ , занимающих в структуре кристалла крупные пустоты. В частности, атомы  $\text{Cu}$  распределяются статистически по 12 положениям типа  $6f$ , симметрично расположенным относительно тригональной оси элементарной ячейки. Предложена теоретич. модель, являющаяся обобщением разработанной автором ранее для  $\text{Cu}_2\text{Mo}_6\text{S}_8$  («Solid State Commun», 1981, 40, 785) струк-

*Фазовый переход*

*cf. 1985, 18, N 5*

турных переходов в соединениях с разной конц-ней Си. Модель основана на рассмотрении взаимодействия между соседними ячейками, содержащими 2 или 3 ато-ма Си, в приближении молекулярного поля. С помощью численной минимизации выражения для свободной энергии системы построены фазовые диаграммы в координатах конц-ия — т-ра при различных наборах характерных параметров взаимодействия. Полученные решения описывают как структурные переходы, так и расслоение фаз. Результаты согласуются с известными эксперим. данными, а также предсказывают существование нового структурного перехода в области конц-ий  $2 < x < 2,1$ .

А. Отко

4.  
1  
sv

[Dm. 20335]

1984



Wiest R., Bernard M.

OCTROBE.  
CCOCNO:EH,  
ab initio  
pacrem

Theor. chim. acta,  
1984, 66, N 1, 65-75.

$\text{Cr}(\text{CO})_6 - \text{Mo}(\text{CO})_6$

1985

21 Б3120. Термодинамическое изучение системы гексакарбонилов хрома и молибдена. Блудилина В. И., Баев А. К., Соколовский А. Е. «5 Всес. конф. по термодинам. орган. соедин.» Куйбышев, 1985, 135

Измерены давл. пара в системе  $\text{Cr}(\text{CO})_6 - \text{Mo}(\text{CO})_6$ . Рассчитаны и табулированы для 10 составов энталпии и энтропии сублимации. Установлено отриц. отклонение от аддитивности. Экстремальная точка близка к 50 мол. %.

А. С. Гузей

X. 1985, 19, № 21

Mo-Cr<sup>Liuevskij</sup> (DM. 22624) 1985

Kocherzhinsky Yu. A.,  
Vasilenko V. I., Kulik O. G.,

Ter; Thermochem. acta, 1985,  
93, 649-652.

Cr-Mo(k) (Am. 23639)

1986

104: 191075b Thermodynamic properties of chromium-molybdenum solid alloys. Jacob, K. Thomas; Kumar, B. Venkatanna (Dep. Metall., Indian Inst. Sci., Bangalore, 560 012 India). Z. Metallkd. 1986, 77(4), 207-11 (Eng). The activity of Cr in solid Cr-Mo system alloys was measured at 1873 K by a metal-oxide-gas equil. technique. Thin foils of Mo were equilibrated with solid Cr<sub>2</sub>O<sub>3</sub> under flowing gas mixts. of Ar, H, and H<sub>2</sub>O of known compn. The equil. concn. of Cr in Mo was detd. by chem. anal. and indicated pos. deviations from Raoult's law. The activity data were combined with free energy of mixing at 1471 K, calorimetric enthalpy of mixing at 1673 K, and exptl. evidence of phase sepn. at low temps. to obtain an

(negative  
CB-fa)

H. E. Kotzinger

C.A. 1986, 104, N22.

Mo-Cr  
(cubic)

1986

(sfH)  
gray-gray

| 105: 67620g Calculation of thermodynamic properties and  
phase diagrams of binary transition-metal alloys. Sigli, C;  
Kosugi, M.; Sanchez, J. M. (Henry Krumb Sch. Mines, Columbia  
Univ., New York, NY 10027 USA). *Phys. Rev. Lett.*, 1986, 57(2),  
253-6 (Eng). A model tight-binding Hamiltonian including  
off-diagonal disorder and Hartree-Fock electronic self-consistency is  
used to calc. the heats of formation of the Mo-Cr, Mo-Nb, and  
Mo-Ta alloys. The approach combines the coherent-potential  
approxn., the generalized perturbation method, and the cluster-variation  
method. The model is also used to calc. the phase diagram and the  
equil. activities for the Mo-Cr system.

(2) 17

C.A. 1986, 105, N8

Mo-Nb  
Mo-Ta

Mo-Sr

1986

2 E717. Расчет термодинамических свойств и фазовых диаграмм бинарных сплавов переходных металлов.  
Calculation of thermodynamic properties and phase diagrams of binary transition-metal alloys. Sigli C., Kosugi M., Sanchez J. M. «Phys. Rev. Lett.», 1986, 57, № 2, 253—256 (англ.)

Проведен расчет энталпии образования сплавов Mo—Sr, Mo—Nb и Mo—Ta. Выражение для гамильтониана системы составлено в рамках приближения жесткой связи. Учет эффектов переноса заряда осуществлен самосогласованным методом Хартри—Фока. Модель использована для расчета фазовой диаграммы и активностей компонентов системы Mo—Sr. Получено удовлетворительное согласие с экспериментом. Библ. 21.

И. А. Корсунская

(+)  
☒

ф. 1987, 18, № 2



Mo-Nb  
Mo-Ta

$\text{Cr}_2(\text{MoO}_4)_3$

1987

17 В25. Дефектная структура и транспортные свойства  $\text{Cr}_2(\text{MoO}_4)_3$  и  $\text{Al}_2(\text{MoO}_4)_3$ . Defect structure and transport properties of  $\text{Cr}_2(\text{MoO}_4)_3$  and  $\text{Al}_2(\text{MoO}_4)_3$ . Forzatti P., Mari C. M., Villa P. «Mater. Res. Bull.», 1987, 22, № 12, 1593—1602 (англ.)

Мелкокристаллические порошки  $\text{Cr}_2(\text{MoO}_4)_3$  (I) и  $\text{Al}_2(\text{MoO}_4)_3$  (II) получены термич. разл. смеси р-ров  $\text{Cr}(\text{NO}_3)_3 \cdot 9 \text{H}_2\text{O}$  (или  $\text{Al}(\text{NO}_3)_3 \cdot 9 \text{H}_2\text{O}$ )— $\text{C}_6\text{H}_8\text{O}_7 \cdot \text{H}_2\text{O}$  и  $(\text{NH}_4)_6\text{Mo}_7\text{O}_{24} \cdot 4 \text{N}_2\text{O}$ . По данным РФА порошки однотипны, без значит. отклонений в параметрах монокл. решеток I и II. На основании данных ИК- и КР-спектроскопии, а также полученных спектров отражения в видимой обл., установлено, что атомы Mo находятся в октаэдрич. кислородном окружении. Термич. исследования показали, что переход из монокл. в ромбич. фазу носит сложный характер. Сопротивление I и II не зависит от парц. давл. кислорода в системе. Об-

III  
t2

71

X·1988, 19, N 17

сужден характер дефектной структуры и транспортных св-в обоих молибдатов в сравнении с изоструктурным  $\text{Fe}_2(\text{MoO}_4)_3$ . Предположено, что атомы Mo в октаэдрическом кислородном окружении локализуются в менсузельных центрах, и этим определяется различие в транспортных св-вах между Сг, Al-молибдатами и Fe-молибдатом. Данное утверждение коррелирует с различиями в катализич. св-вах этих соединений, проявляющихся при окислении пропилена.

А. Б. Быков

Cr-Mo

1988

108: 227616c Theoretical determinations of thermodynamic data and phase diagrams of BCC binary transition-metal alloys. Colinet, C.; Bessoud, A.; Pasturel, A. (LTPCM, ENSIEEG, 38402 Saint Martin d'Heres, Fr.). *J. Phys. F: Met. Phys.* 1988, 18(5), 903-21. (Eng). A microscopic theory of phase equil. in transition metal alloys is presented. The approach is to combine a tight-binding cluster-Bethe-lattice method treatment of the internal energy with a cluster-variation method treatment of the configurational entropy. One of the great advantages of this approach is the inclusion of short-range order both in the internal energy and entropy calcs. The calcs. are parameter free and use only the results of elemental electronic structure calcs. as input, i.e., bandwidth and ne-site energy. Calcs. of the enthalpies of formation of Cr-Mo, Cr-W, Mo-W, Mo-Tc, Mo-Nb, and Ta-W alloys are presented. The model is also used to calc. the miscibility gaps displayed by the Cr-Mo, Cr-W and Mo-W systems.

(S fHcriatt)

(15) ⊗



c.a. 1988, 108, n26

$\text{P}_2\text{V}_4\text{-Mo}_3$  (Om. 32637) 1989

Walczak J., Filipczek E;

przyrob. Thermochim. Acta,  
parafinowe 1989, 150, N 1, 125-131

$\text{Cr}_2(\text{MoO}_4)_3$

1989

З Б3063. Изучение молибдата хрома (+3) и равновесие в системе  $\text{CrVO}_4$ — $\text{Cr}_2(\text{MoO}_4)_3$ . Studies on chromium(III) molybdate and equilibria in the  $\text{CrVO}_4$ — $\text{Cr}_2(\text{MoO}_4)_3$  system / Walczak Jadwiga, Kurzawa Maria, Filipek Elżbieta // *Thermochim. acta.* — 1989. — 150, № 1.— С. 133—140.— Англ.

С помощью ДТА и РФА исследовано взаимодействие в системе  $\text{CrVO}_4$  (I) —  $\text{Cr}_2(\text{MoO}_4)_3$  (II). Построена фазовая диаграмма. Показано, что II разлагается на  $\text{Cr}_2\text{O}_3$  и  $\text{MoO}_3$  до т. пт. При  $800^\circ\text{C}$  разл. II сопровождается сублимацией  $\text{MoO}_3$ . При нагревании I—II до  $780^\circ\text{C}$  в зависимости от соотношения компонентов образуется  $\text{CrVMoO}_7$ ,  $\text{Cr}_2\text{O}_3$ ,  $\text{V}_2\text{O}_5$ ,  $\text{MoO}_3$ . Б. Г. Коршунов

X·1990, № 3

*Cr<sub>x</sub>Mo<sub>6</sub>S<sub>8-y</sub>*

*Om. 36 184 1991*

9 Б3023. Измерения энталпий фазовых переходов для фаз Шевреля сульфидов хрома в интервале температур от 400 до 900 К. Measurements of enthalpies of phase transition for chromium Chevrel-phase sulphides in the temperature range from 400 to 900 K / Oshima Akihiro, Ike Eitaroh, Hinode Hirofumi, Wakihara Masataka // Thermochim. acta.— 1991.— 191, № 2.— С. 341—351.— Англ.

С использованием высокот-рного двойного калориметра типа Кальве при т-рах 400—900 К определены теплоты и т-ры фазовых переходов из низкот-рной трикл. фазы в высокот-рную ромбоэдрич. фазу для 12 соед.  $\text{Cr}_x\text{Mo}_6\text{S}_{8-y}$  ( $1,4 < x < 2,0$ ;  $7,5 \leq 8-y \leq 8,0$ ), а также энталпии и теплоемкости этих соед. ниже и выше т-ры фазового перехода. Т-ры и теплоты фазовых переходов возрастают с увеличением содержания хрома, а теплоемкость возрастает с увеличением содержания как хрома, так и серы.

В. Ф. Байбуз

*X. 1992, № 9*

Gr<sub>1,73</sub>Mo<sub>6</sub>S<sub>8</sub>

1992

18 Б2030. Кристаллическая структура  $\text{Cr}_{1,73}\text{Mo}_6\text{S}_8$ .  
The crystal structure of  $\text{Cr}_{1,73}\text{Mo}_6\text{S}_8$ : [Pap.] 10th Int.  
Conf. Solid Simpounds Transit. Elemt. Münster, May  
21—25, 1991 / Harbrecht B., Mahne S. // J. Alloys and  
Compaunds.— 1992.— 178, № 1—2.— С. 467—475.—  
Англ.

Проведен РСТА (2870 отражений,  $R = 0,032$ )  
 $\text{Cr}_{1,73}\text{Mo}_6\text{S}_8$  (I), полученного спеканием Cr, Mo,  $\text{MoS}_2$   
или  $\text{Mo}_2\text{S}_3$ . Параметры трикл. решетки I:  $a = 652,2$ ,  $b = 649,7$ ,  $c = 644,9$  пм,  $\alpha = 94,68^\circ$ ,  $\beta = 90,70^\circ$ ,  $\gamma = 97,91^\circ$ ,  $P\bar{1}$ ,  
 $\rho$  (выч.) 5,684, ф. гр.  $P\bar{1}$ . Структуры I и  $\text{Fe}_2\text{Mo}_6\text{S}_8$  изо-  
типны. Атомы  $\text{Cr}^{2+}$  находятся в каналах (Cr—S 243,3,  
287,5 пм), параллельных [010], и окружены кластера-  
ми  $\text{Mo}_6\text{S}_8$ , сочлененными друг с другом через 6 связей  
(Mo—S 254,3 м). Наблюдается небольшой беспорядок  
в размещении атомов Cr. Приведены значения  $I$ ,  $d$  ( $hkl$ )  
для I.

Н. Л. Смирнова

Кристал  
структура

X. 1992, N 18

Molr FeCx

[Dm. 36904]

1992

Piu C.,

Stepnogur.  
praeceps  
Glaucanite  
COPMO-SP-100

ISIJ International,  
1992, 32, N10, p. 1117-1127

*CrMo(CO)<sub>12</sub>*

1994

14 Б361. Термодинамика и взаимодействие в системе гексакарбонилов хрома и молибдена / Баев А. К. // Ж. общ. химии. — 1994. — 64, № 2. — С. 212—215. — Рус.

Статическим методом с мембранным нуль-манометром в атмосфереmonoоксида углерода измерено давление пара системы  $\text{Cr}(\text{CO})_6$ — $\text{Mo}(\text{CO})_6$ . Значения средней молекулярной массы указывают на присутствие в парах комплекса  $\text{CrMo}(\text{CO})_{12}$ . Рассчитаны термодинамич. св-ва процесса сублимации, анализ к-рых подтверждает прочное взаимодействие в системе с образованием указанного комплекса.

*P, ΔP, ΔH*

X.1995, N14

Ni-Cr-Co-Mo

1998

Mihajlović  
Čiganić

130: 142546j Thermodynamic study of the quaternary system Ni-Cr-Co-Mo. Zivkovic, Dragana; Zivkovic, Zivan; Trujic, Vlastimir; Milosavljevic, Aleksandra (Technical Faculty, University of Belgrade, 19210 Bor, Yugoslavia). *Phys. Chem. '98, Int. Conf. Fundam. Appl. Aspects Phys. Chem.*, 4th 1998, 58-60 (Eng). Edited by Ribnikar, Slobodan; Anic, Slobodan. Society of Physical Chemists of Serbia: Belgrade, Yugoslavia. Thermodn. functions were calcd. at 2000 K based on the literature data for the binary systems. The Ni activity is plotted as a function of compn.

C.A. 1999, 130, v11

Cr No

2701

Kraus D., et al.,

( $A^1\Sigma^+ < X^1\Sigma^+$ ) Phys. Chem. Comm.  
[online computer file]  
2001, Nopp, given, Paper No. 10702

(all. Moz; III).

Monogram (Om 41773) 2003

Krona  
(291.)

Cr<sub>2</sub>MoO<sub>4</sub> (7a3)

Soranoise C.H., Meyrueis C.H.

H gp.,

Ag-H,  
Haron.

Dipperan guy. Kressell,  
2003, 77, ● N 5 c. 985-  
990